

ядер и к диапазону энергий возбуждения 3—8 МэВ.

2. Протонно-активный изомер  $^{53m}\text{Co}$  (пока единственный), полученный в реакции  $^{54}\text{Fe}(\text{p}, 2n)$ , с периодом полураспада  $T_{1/2} = 247$  мс испускает протон с  $\epsilon_p = 1.59$  МэВ ( $W_p = 1.5\%$ ). Время жизни относительно испускания протона  $\tau_p = (P_l \gamma_p^2)^{-1}$ , где  $P_l$  — прозрачность барьера для протона с орбитальным моментом  $l$ ,  $\gamma_p$  — приведённая ширина. При р-распаде  $^{53m}\text{Co}$  происходит изменение волновой ф-ции ядра, что приводит к уменьшению вероятности распада изомера, т. е. к увеличению времени его жизни.

3. Протонный распад из основного состояния возможен для более нейтронно-дефицитных ядер, чем эмиссия ЭП. Из-за эффекта спаривания протонов он оказывается возможным сначала у нечётных ядер. Для регистрации р-распада необходимо условие  $\epsilon_{\min} < \epsilon_p < \epsilon_{\max}$ , где  $\epsilon_{\min}$  задаётся конкуренцией со стороны  $\beta$ -распада ( $\tau_p^{\max} \approx 0.1-1$  с), а  $\epsilon_{\max}$  — быстродействием измерит. методики. Интервал  $\epsilon$  растёт с  $Z$ , что делает предпочтительным поиск П. р. в области  $Z > 50$ .

Впервые слабая протонная активность с  $\epsilon_p = 0.83 \pm 0.05$  МэВ и  $T_{1/2} = (1.4 \pm 0.8)$  с наблюдалась при облучении  $^{96}\text{Ru}$  пучком  $^{92}\text{S}$  (ОИЯИ, 1972). Она была объяснена распадом  $^{121}\text{Pr}$  из основного состояния [реакция  $^{96}\text{Ru}(^{92}\text{S}, \text{p}, bn)^{121}\text{Pr}$ ]. В 1981 С. Хофманн (S. Hofmann) и др. (ФРГ) в реакции  $^{98}\text{Ru}(^{68}\text{Ni}, \text{p}, 2n)$  получили ядра  $^{111}\text{Lu}$ , к-рые с периодом  $T_{1/2} = (85 \pm 10)$  мс испускают протоны с  $\epsilon_p = 1.23$  МэВ. Сечение этой реакции в 700 раз больше, т. к. из-за использования пучка  $^{58}\text{Ni}$  необходимый нейтронный дефицит достигается за счёт испарения только трёх нуклонов. В дальнейшем с помощью пучков  $^{68}\text{Ni}$  открыто ещё 5 нуклидов, испытывающих распад из основного состояния (рис. 4). Время жизни определяется туннелированием протонов сквозь кулоновский и центробежный барьера. Длина туннелирования для  $\epsilon \approx 1$  МэВ составляет примерно 80 Фм.

4. При ещё более значительном нейтронном дефиците для чётных по  $Z$  ядер за счёт спаривания протонов теоретически возможен вылет протонной пары (при устойчивости ядра к испусканию одного протона). Пока это явление не обнаружено, однако открыта т. н. бета-аддерянная двухпротонная радиоактивность трёх излучателей на пучке  $^3\text{He}$ :  $^{22}\text{Al}$  (0,07 с),  $^{26}\text{P}$  (0,02 с),  $^{44}\text{Ca}$  (0,05 с). Эти ядра испытывают т. н. сверхраздребнённый  $\beta$ -распад, после чего происходит последовательное испускание двух протонов.

Лит.: Караухов В. А., Петров Л. А., Ядра, удаленные от линии бета-стабильности, М., 1981; Particle emission from nuclei, ed. by M. S. Ivascu, D. N. Poenaru, v. 1—3, CRC Press, 1988.

**ПРОТОННЫЙ ЛИНЕЙНЫЙ УСКОРИТЕЛЬ** — линейный ускоритель, предназначенный для ускорения тяжёлых нерелятивистских частиц (протонов, ионов). Отличается от линейного ускорителя лёгких частиц (электронов, позитронов) частотой эл.-магн. колебаний ускоряющего ВЧ- поля (метровый диапазон вместо дециметрового), устройством ускоряющих структур и существенно большими габаритами. См. **Линейные ускорители**.

**ПРОТОННЫЙ СИНХРОТРОН** — см. **Синхротрон протонный**.

**ПРОТОН-ПРОТОННАЯ ЦЕПОЧКА** — см. **Водородный цикл**.

**ПРОТУБЕРАНЦЫ** (от лат. protuberero — вдавуваюсь) — холодные ( $T \lesssim 10^4$  К) плотные образования внутри горячей ( $T \gtrsim 10^6$  К) разреженной короны Солнца. Они сильно различаются между собой по форме, структуре и времени жизни. Над солнечным лимбом П. наблюдаются в виде похожих на гигантские языки пламени потоков газа, чаще — в виде светящихся аркад, к-рые состоят из множества отд. нитей и движущихся густых газа. В проекции на солнечный диск П. видны как тёмные изогнутые ленты сложной структуры, называе-

мые волокнами, соединённые между собой яркими образованиями — каналами волокон. Последние на лимбе проявляются в виде системы струй, соединяющих два или неск. П. Часто встречаются П., представляющие собой сложное переплетение волокон и протоков газа или каналов волокон.

Существует неск. классификаций П. по их топологии и степени активности. Основным является деление на два класса: спокойные и активные П. К классу спокойных (рис. 1) относятся долгоживущие (время жизни от 1 сут до неск. месяцев), медленно

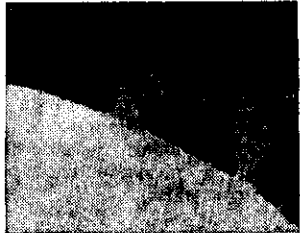


Рис. 1. Типичный спокойный протуберанец (снимок в линии  $H_\alpha$ ).

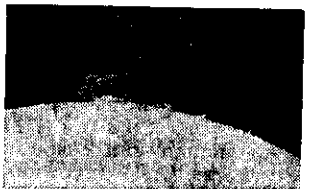


Рис. 2. Типичный активный протуберанец (снимок в линии  $H_\alpha$ ).

изменяющиеся, наблюдаемые вне активных областей П. Более коротковивущие, быстро изменяющиеся, связанные с активными областями и с солнечными пятнами П. относятся к классу активных (рис. 2). Спокойные П. делятся на два типа: расположенные ниже гелиографич. широты  $40-45^\circ$  и расположенные выше этой

широты (т. н. полярные П.). К классу активных П. относятся, в частности: П., связанные с солнечными вспышками (петельные П.), П., связанные с солнечными пятнами, арутитивные П. П. связаны с магн. полями на Солнце. Это используется для изучения солнечных магн. полей, особенно крупномасштабных. Их изменение в ходе цикла солнечной активности можно проследить по положениям спокойных П. Как правило, волокна располагаются над фотосферной нейтральной линией — границей раздела полярности вертикальной составляющей фотосферного магн. поля (см. **Вспышка на Солнце**). Магн. поля связывают П. практически со всеми проявлениями солнечной активности, включая вспышки, корональные транзиты (см. **Солнечная корона**), выбросы солнечной плазмы в межпланетную среду.

В спектрах П. наблюдаются линии излучения водорода, гелия, ионизов. кальция и др. металлов. Это позволяет оценить характерные значения параметров плазмы в П.: темп-ру и концентрацию, степень ионизации и возбуждения атомов, скорости гидродинамич. течений (направленных и хаотических), число атомов на луче зрения и многое другое. Кроме эмиссионных линий наблюдается излучение П. в непрерывном спектре. Оно обусловлено в основном рекомбинац. процессами и томсоновским рассеянием фотосферного излучения на свободных электронах, что позволяет оценить полное число таких электронов на луче зрения.

Плазма в П. сильно неоднородна по темп-ре и плотности (концентрация частиц  $10^{10}-10^{12}$  см $^{-3}$ ). По-видимому, имеется тенденция к выравниванию газового давления в горячих и холодных компонентах внутри П. Однако остаются небольшие градиенты давления, о чём свидетельствуют значительные хаотич. скорости даже в спокойных П. В П. часто происходят нестационарные явления типа «микровспышек». Из анализа спектраль-